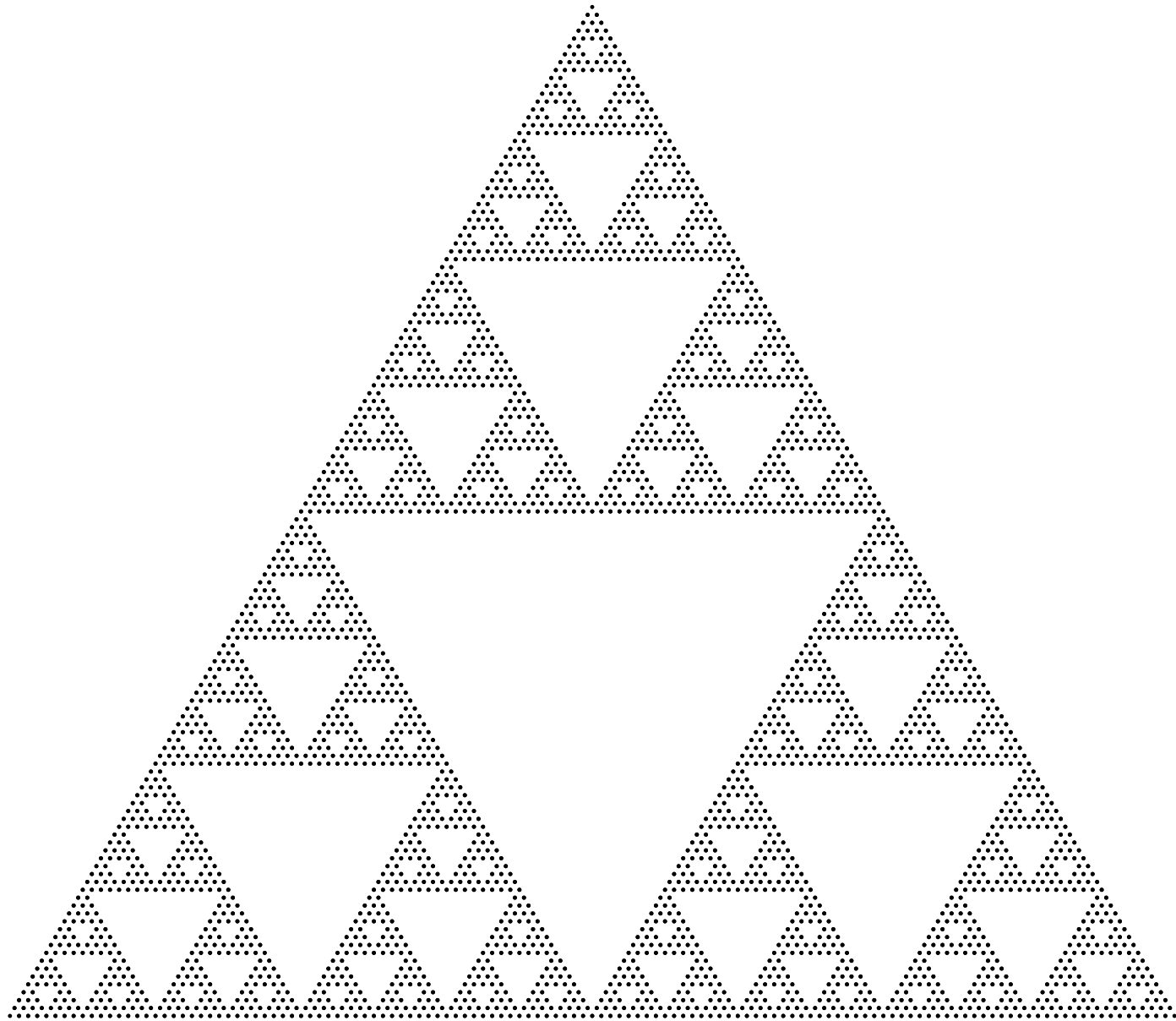


Летняя школа «Современная математика»

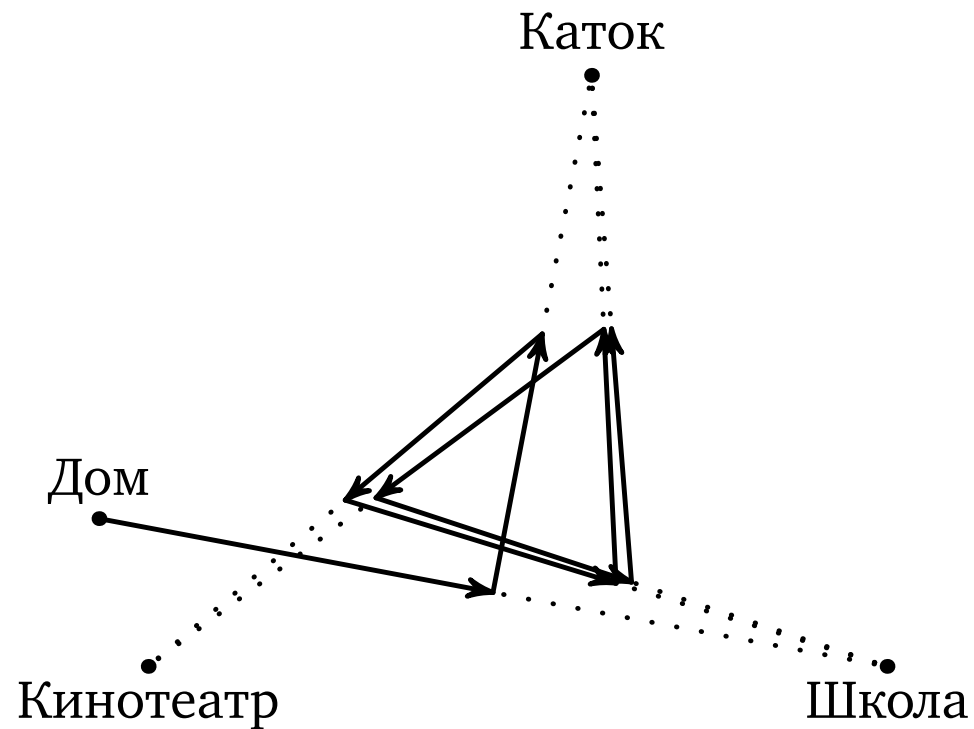
*А. А. Кириллов*

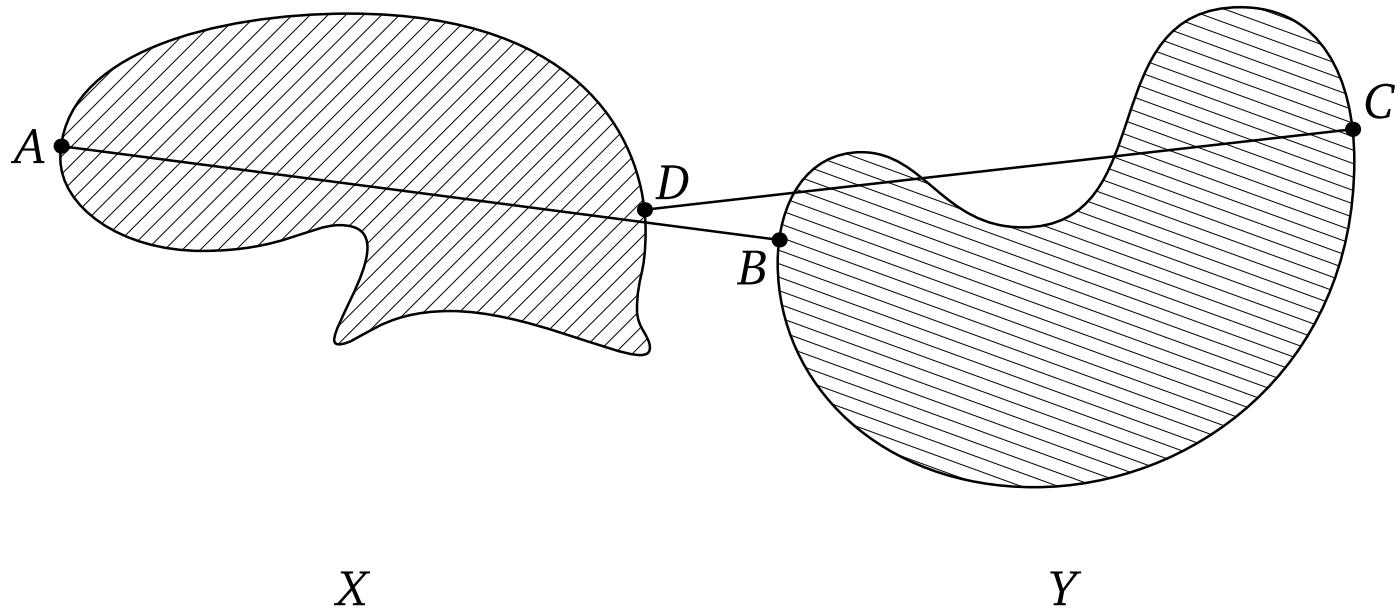
Главы из книги  
«Повесть о двух фракталах»

Дубна, Ратмино, июль 2009



Задача. Мальчик Петя вышел из своего дома и пошел в школу. На полпути к школе он решил прогулять школу и пойти на каток. На полпути к катку он подумал, что лучше пойти в кино. Однако на полпути к кинотеатру он снова передумал и свернул к школе. Куда придет мальчик Петя, если он будет продолжать двигаться таким образом?

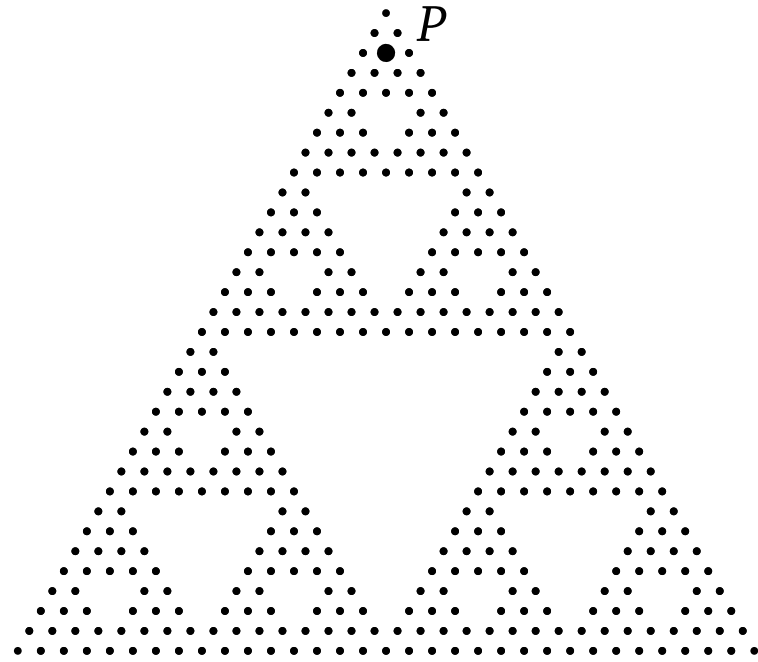




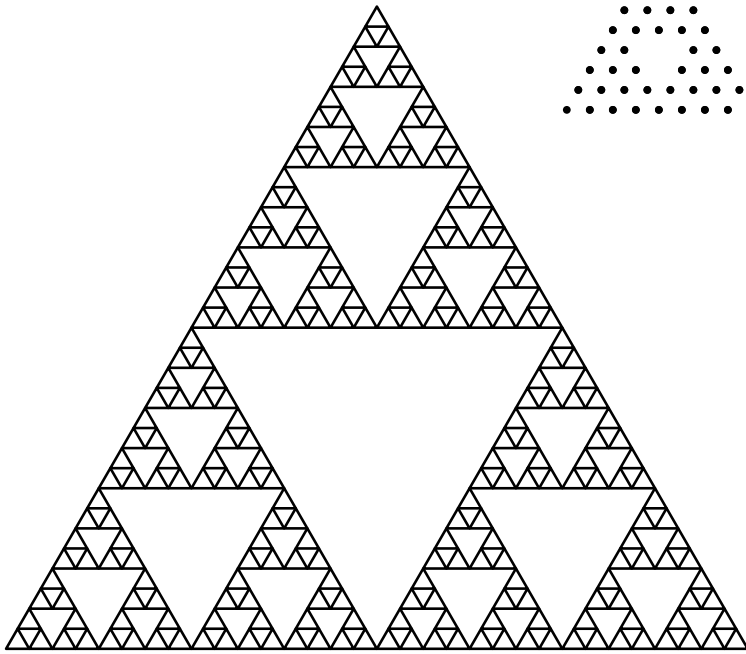
$$d(x, Y) := \min_{y \in Y} d(x, y)$$

$$d(X, Y) := \max_{x \in X} d(x, Y) + \max_{y \in Y} d(y, X)$$

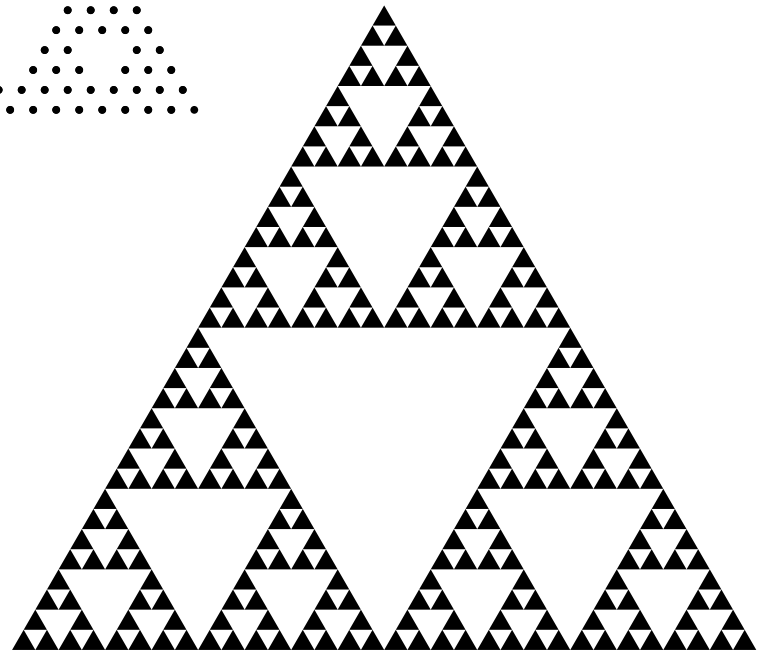
$$d(X, Y) := \max_{x \in X} \min_{y \in Y} d(x, y) + \max_{y \in Y} \min_{x \in X} d(x, y)$$



$\mathcal{S}_6$



$\mathcal{S}'_6$



$\mathcal{S}''_6$

ЛЕММА. Пусть  $x, y, z$  — три соседние точки на  $\mathcal{S}_m$ , образующие правильный треугольник, обращенный вершиной вверх. Положим

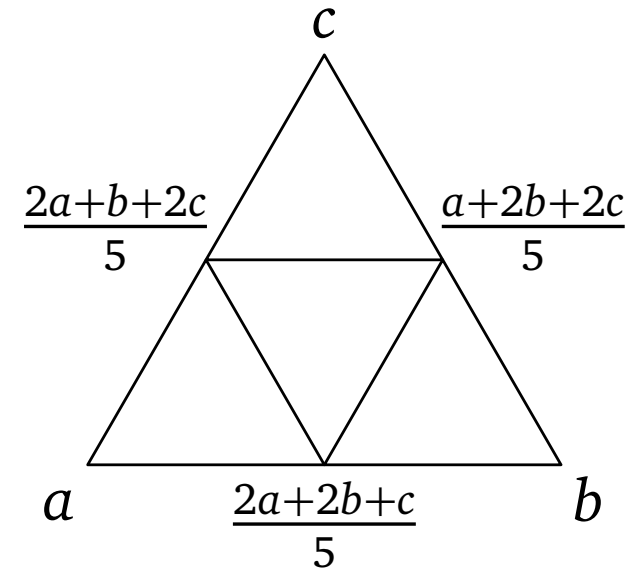
$$\alpha = \frac{y+z}{2}, \quad \beta = \frac{x+z}{2}, \quad \gamma = \frac{x+y}{2}.$$

Тогда  $\alpha, \beta, \gamma$  также образуют правильный треугольник и являются соседними точками на  $\mathcal{S}_{m+1}$  (см. рисунок). Для любой гармонической функции  $f$  на  $\mathcal{S}_{m+1}$  мы имеем:

$$f(\alpha) = \frac{f(x) + 2f(y) + 2f(z)}{5},$$

$$f(\beta) = \frac{2f(x) + f(y) + 2f(z)}{5},$$

$$f(\gamma) = \frac{2f(z) + 2f(y) + f(x)}{5}.$$



Неформальный смысл этого результата: соседняя точка оказывает вдвое большее влияние, чем противоположная.

ТЕОРЕМА. Каждая гармоническая функция на  $\mathcal{S}_\infty$  равномерно непрерывна и, следовательно, имеет единственное продолжение по непрерывности на  $\mathcal{S}$ .

Рассмотрим три отображения отрезка  $[0, 1]$  в себя:

$$\alpha_0(t) = \frac{t}{2}, \quad \alpha_1(t) = \frac{1+t}{2} \quad \text{и} \quad \tau(t) = 1 - t.$$

Они порождают линейные операторы в пространстве  $C([0, 1])$  непрерывных функций на отрезке:

$$(A_0f)(t) = f\left(\frac{t}{2}\right), \quad (A_1f)(t) = f\left(\frac{1+t}{2}\right) \quad \text{и} \quad (Tf)(t) = f(1 - t).$$

Оказывается, все три оператора  $A_0$ ,  $A_1$  и  $T$  переводят в себя трехмерное подпространство  $\mathcal{H} \subset C([0, 1])$ . Более того, операторы  $A_0$  и  $A_1$  имеют в  $\mathcal{H}$  одинаковый спектр, состоящий из трех собственных значений:  $1, \frac{3}{5}, \frac{1}{5}$ . Соответствующими собственными функциями являются  $1, \psi, \chi$  для  $A_0$  и  $1, 1 - \xi, 1 - \varphi$  для  $A_1$ .

Другими словами, если мы введем вектор-функции

$$\vec{f}(x) = \begin{pmatrix} \psi(x) \\ \chi(x) \\ 1 \end{pmatrix} \quad \text{и} \quad \vec{g}(x) = \begin{pmatrix} \varphi(x) \\ \xi(x) \\ 1 \end{pmatrix},$$

то справедливы равенства

$$\vec{f}\left(\frac{t}{2}\right) = A_0 \vec{f}(t), \quad \vec{g}\left(\frac{1+t}{2}\right) = A_1 \vec{g}(t), \quad \vec{f}(1-t) = T \vec{g}(t), \quad (1)$$

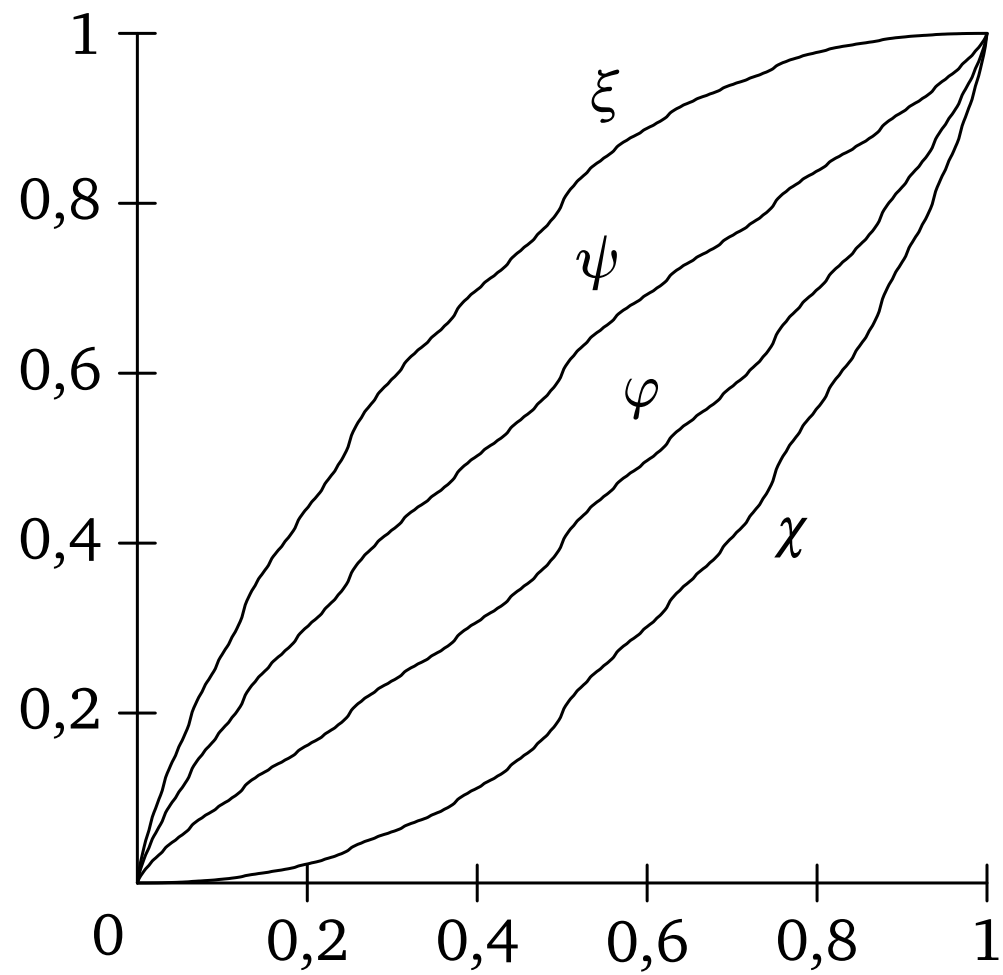
где

$$A_0 = \begin{pmatrix} 3/5 & 0 & 0 \\ 0 & 1/5 & 0 \\ 0 & 0 & 1 \end{pmatrix}, \quad A_1 = \begin{pmatrix} 3/5 & 0 & 2/5 \\ 0 & 1/5 & 4/5 \\ 0 & 0 & 1 \end{pmatrix}, \quad T = \begin{pmatrix} -1 & 0 & 1 \\ 0 & -1 & 1 \\ 0 & 0 & 1 \end{pmatrix}. \quad (2)$$

УПРАЖНЕНИЕ. С помощью равенств (1), (2) заполните пустые места в таблице значений базисных функций  $\chi, \varphi, \psi, \xi$  в точках  $k/8, k = 0, 1, \dots, 7, 8$ .

	0	$\frac{1}{8}$	$\frac{1}{4}$	$\frac{3}{8}$	$\frac{1}{2}$	$\frac{5}{8}$	$\frac{3}{4}$	$\frac{7}{8}$	1
$\chi$	0	$\frac{1}{125}$	$\frac{1}{25}$		$\frac{1}{5}$				1
$\varphi$	0				$\frac{2}{5}$		$\frac{98}{125}$		1
$\psi$	0	$\frac{27}{125}$	$\frac{9}{25}$		$\frac{3}{5}$				1
$\xi$	0				$\frac{4}{5}$		$\frac{24}{25}$		1

Из (1) мы выведем несколько удивительных свойств введенных выше функций. Например, мы исследуем поведение этих функций в окрестности любой двоично-рациональной точки  $r = \frac{k}{2^n}$ .



Базисные функции  $\chi, \varphi, \psi, \xi$

Существует метод быстрого подсчета значений функции  $\chi(t)$  в двоично-рациональных точках. Он основан на соотношениях

$$\chi(2t) = 5\chi(t), \quad \chi\left(\frac{1+t}{2}\right) + \chi\left(\frac{1-t}{2}\right) = \frac{2+3\chi(t)}{5},$$

которые следуют из (1), (2).

ТЕОРЕМА. Для любого натурального  $k$  значение  $\chi(k)$  является также натуральным числом. Более того,  $\chi(k) \equiv k \pmod{3}$ .

Значение этого наблюдения состоит в том, что мы теперь имеем дело с целочисленной функцией целого аргумента: продолженная функция  $\chi$  принимает целые значения во всех целых точках. Таким образом мы автоматически попадаем в царство теории чисел.

В заключение этого раздела мы введем и начнем изучать еще одну целочисленную функцию натурального аргумента. А именно, положим

$$D(k) := \frac{\chi(k-1) - 2\chi(k) + \chi(k+1)}{3}. \quad (3)$$

По существу, это вторая разностная производная функции  $\chi$ , поделенная на 3. Значения  $D(k)$  для малых  $k$  приведены в таблице.

Эта таблица дает еще больше поводов для наблюдений и открытий, чем таблица значений  $\chi(k)$ . Например, уже имеющиеся данные позволяют предположить, что функция  $D$  обладает свойством

$$D(2k) = D(k). \quad (4)$$

Значения $D(k)$				
$k$	$\chi(k)$	$\Delta\chi(k)$	$\Delta^2\chi(k)$	$D(k)$
0	0	1		
1	1	4	3	1
2	5	7	3	1
3	12	13	6	2
4	25	16	3	1
5	41	19	3	1
6	60	25	6	2
7	85	40	15	5
8	125	43	3	1
9	168	37	-6	-2
10	205	40	3	1
11	245	55	15	5
12	300	61	6	2
13	361			

Это заметно сокращает ее вычисление: достаточно вычислить значения в нечетных точках.

Далее, более тонкое наблюдение позволяет решить и эту задачу: функция  $D$  удовлетворяет соотношению

$$D(2k - 1) + D(2k + 1) = 3D(k). \quad (5)$$

$$x = \varphi + \psi - 1 = \chi + \xi - 1; \quad y = \xi - \psi = \psi - \varphi = \varphi - \chi. \quad (6)$$

Когда  $t$  меняется от 0 до 1,  $x$  возрастает от  $-1$  до  $1$ , в то время как  $y$  растет от значения 0 до максимума  $\frac{1}{5}$  при  $x = 0$ , а потом убывает опять до 0.

Альтернативное (эквивалентное) определение:  $x = u_{-1}^0$ ,  $y = u_0^1$ .

**ТЕОРЕМА.** Величина  $y$  является дифференцируемой функцией от  $x$ . Более точно, производная  $y' = \frac{dy}{dx}$  существует и является непрерывной строго убывающей функцией  $x$ .

Следующие три проблемы открыты.

Задача 1. Подсчитать моменты

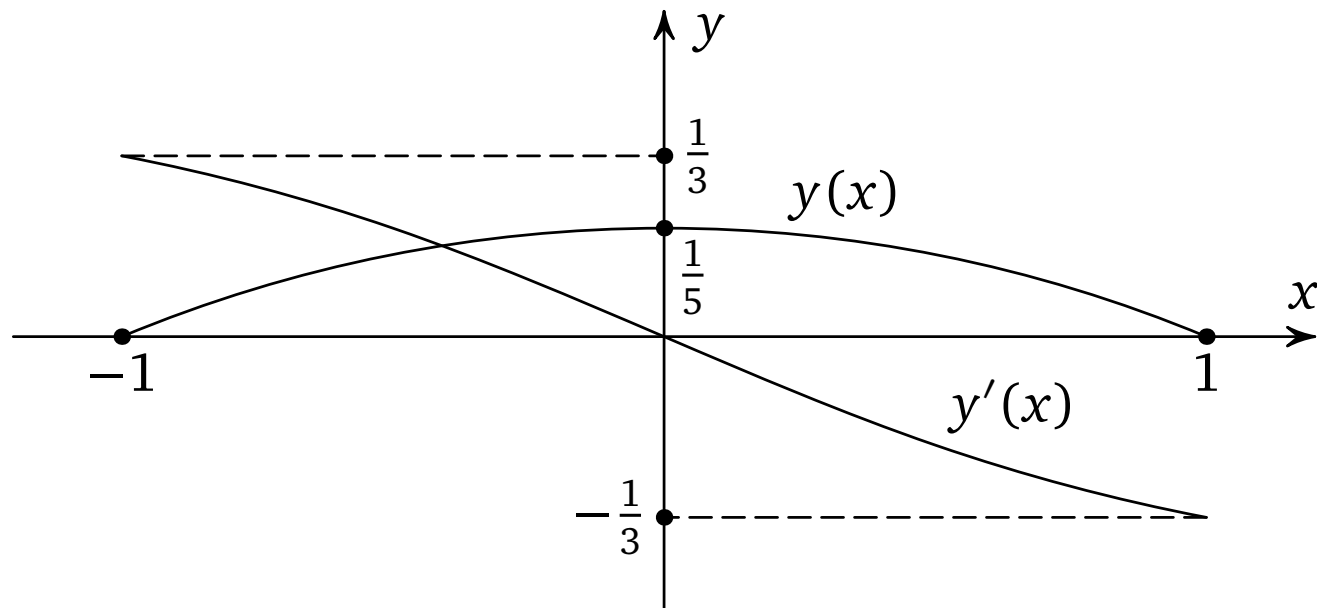
$$m_n := \int_{-1}^1 x^n y \, dx. \quad (7)$$

Задача 2. Подсчитать коэффициенты Фурье

$$c_n := \int_{-1}^1 e^{-\pi i n x} y \, dx. \quad (8)$$

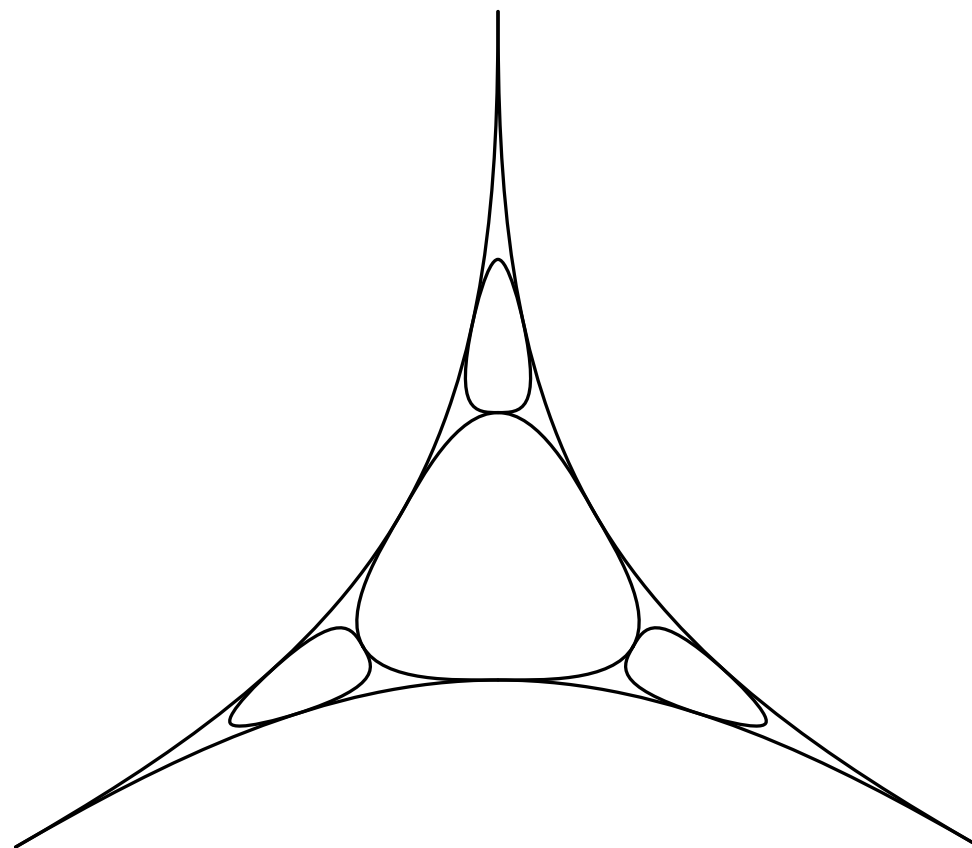
Задача 3. Исследовать дробные производные основных функций.

Например, интересно найти производную порядка  $\alpha = \log_2 5$  от функции  $\chi(t)$  и производную порядка  $\beta = \log_2 \frac{5}{3}$  от функции  $\psi(t)$  в окрестности нуля.

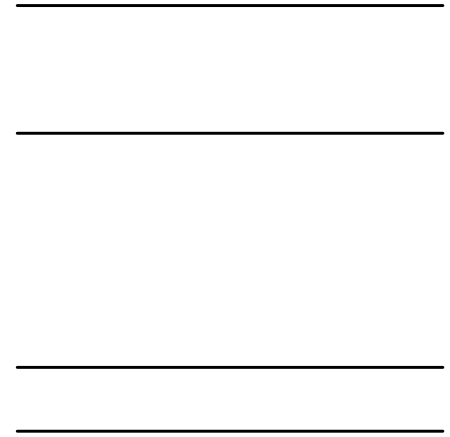
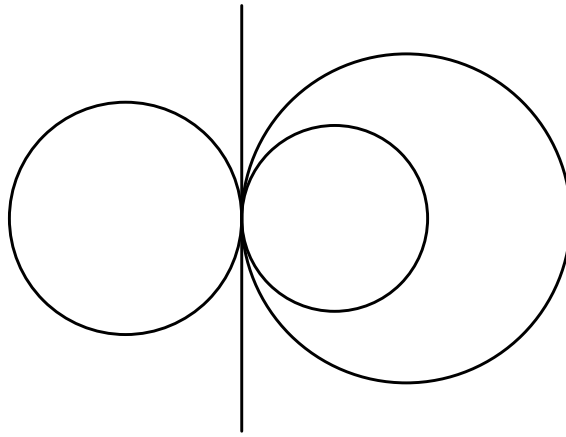
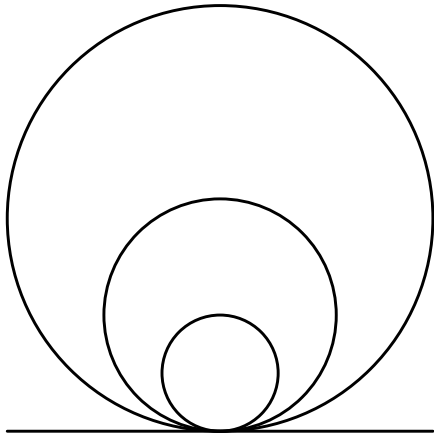


Графики функций  $y(x)$  и  $y'(x)$

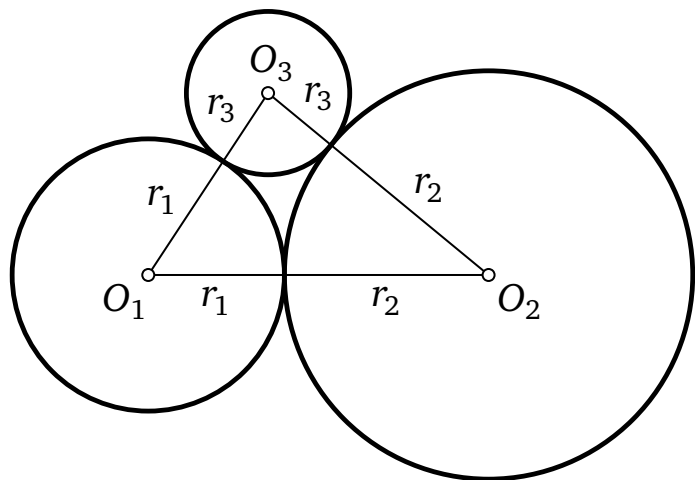
УПРАЖНЕНИЕ. Найдите  $x\left(\frac{5}{6}\right)$ ,  $y\left(\frac{5}{6}\right)$  и значение  $y'(x)$  в точке  $x\left(\frac{5}{6}\right)$ .



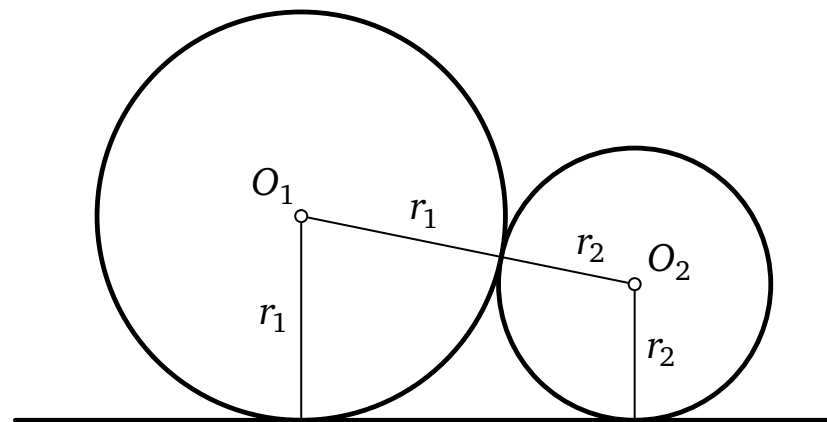
Гармонический образ  $\tilde{\mathcal{F}}$  ковра Серпинского



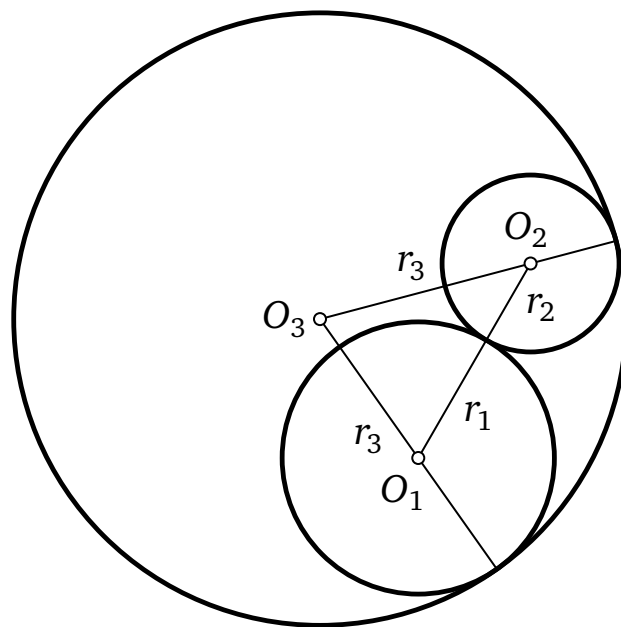
«Неправильные» четверки



Тройка касающихся  
окружностей типа а)



Тройка касающихся  
окружностей типа б)



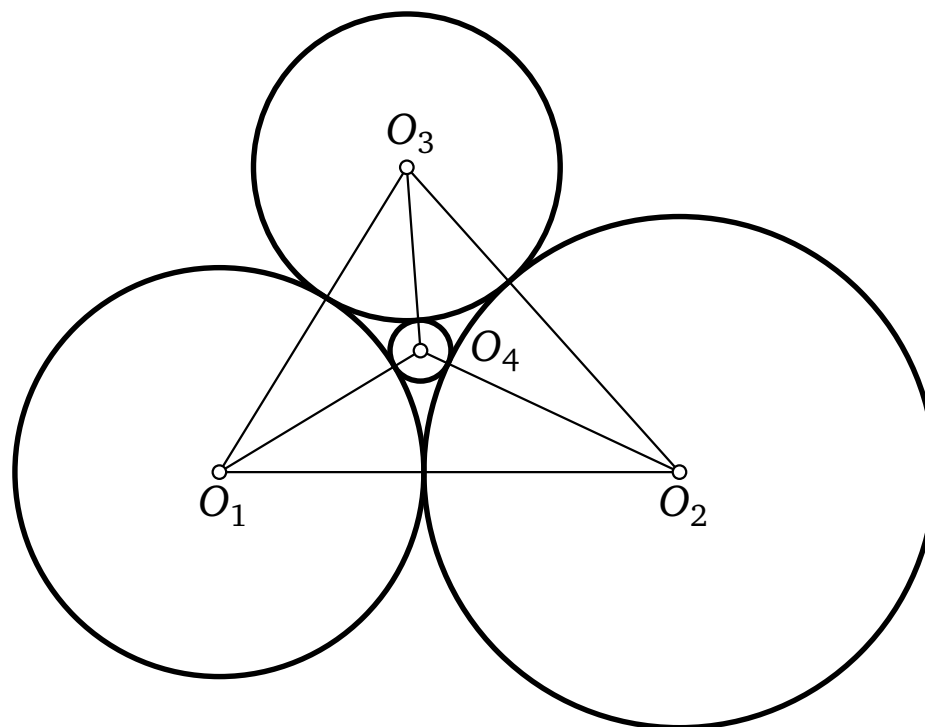
Тройка касающихся  
окружностей типа в)

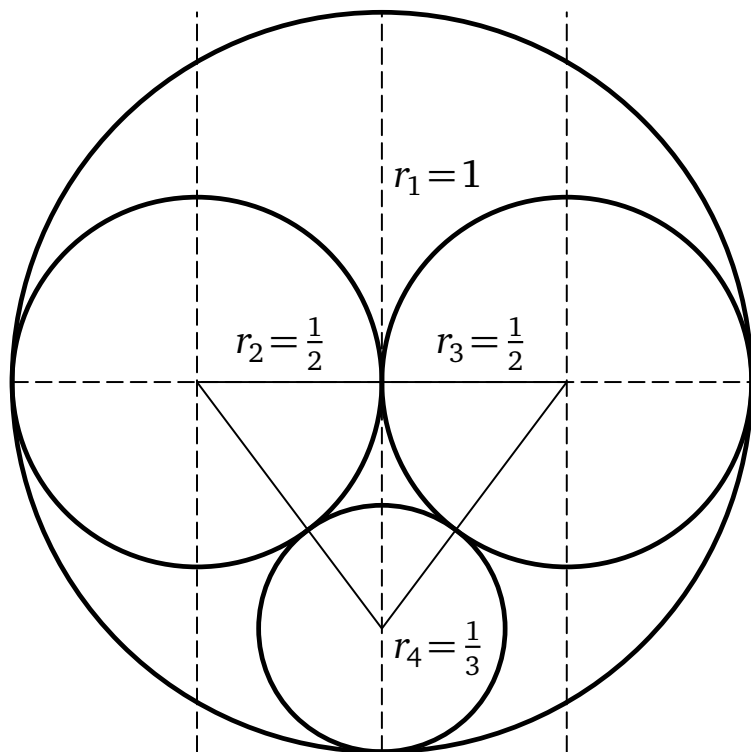
Если вместо радиусов  $r_i$  рассматривать обратные величины

$$c_i := r_i^{-1}, \quad 1 \leq i \leq 4,$$

то уравнение Декарта выглядит совсем просто:

$$(c_1 + c_2 + c_3 + c_4)^2 - 2(c_1^2 + c_2^2 + c_3^2 + c_4^2) = 0. \quad (9)$$





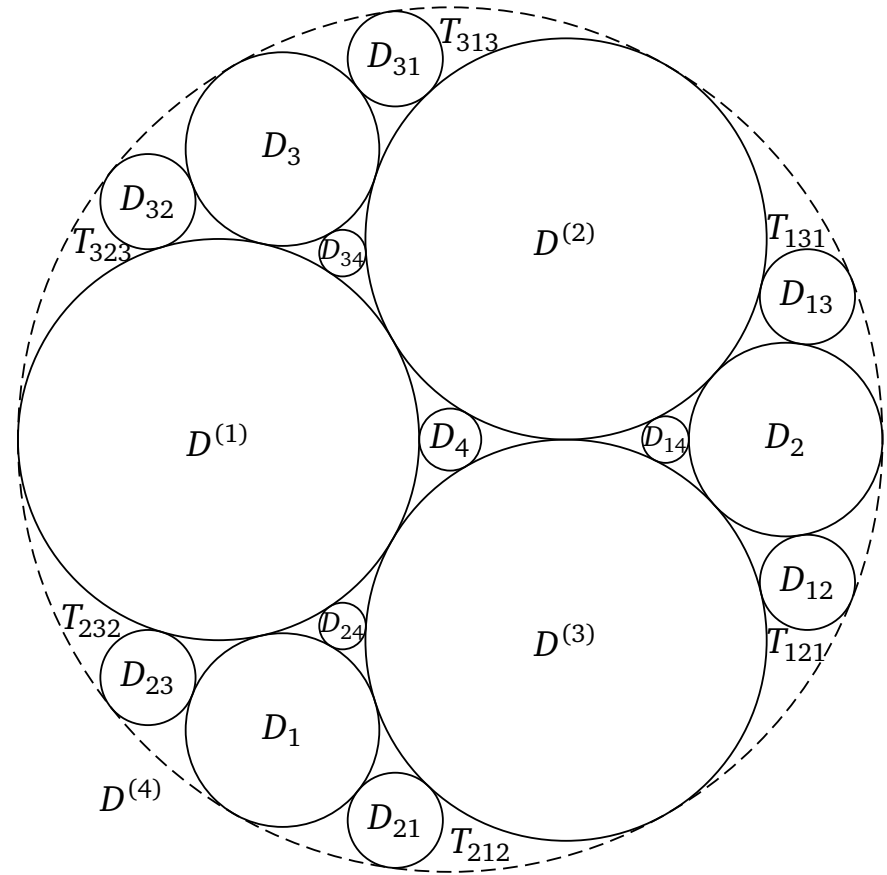
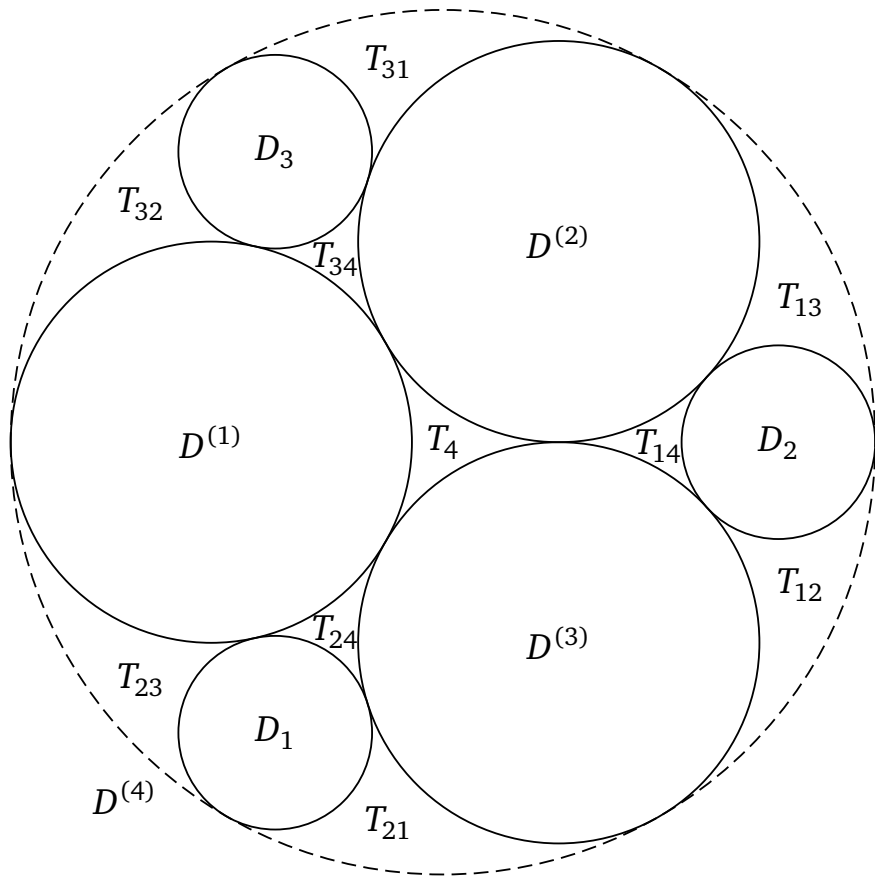
«Нарушение» уравнения  
Декарта

Если мы здесь положим  $c_1 = 1$ ,  $c_2 = c_3 = 2$ ,  $c_4 = 3$ , то придем к неверному равенству

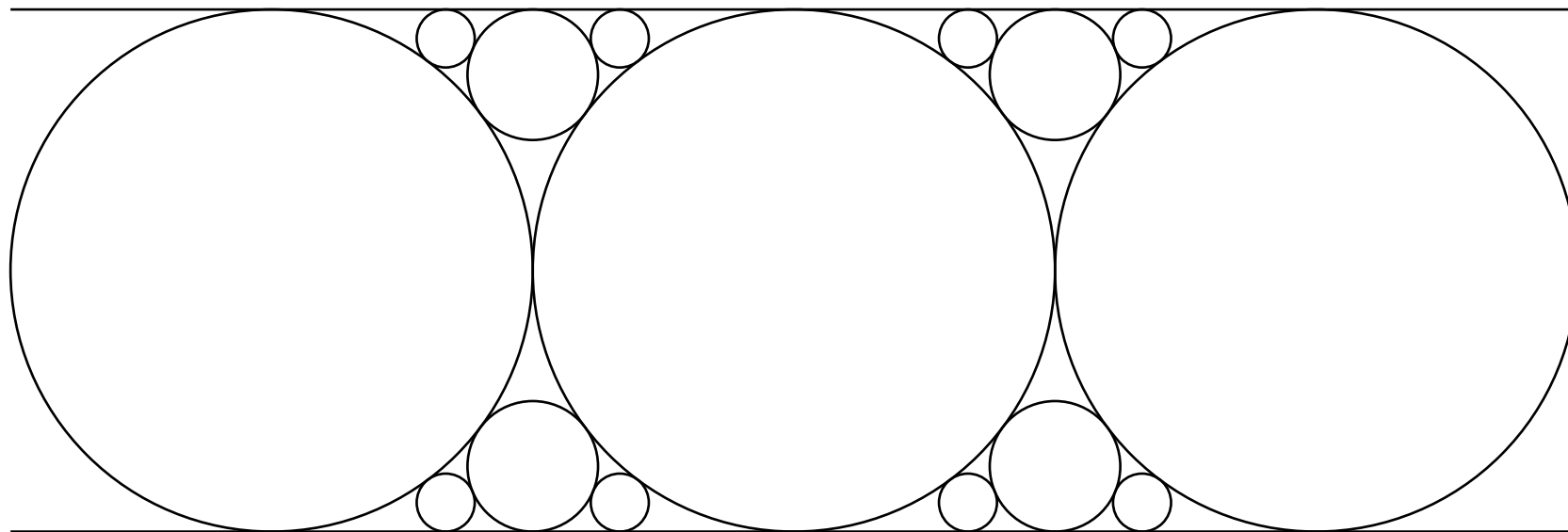
$$\begin{aligned} 64 &= (1 + 2 + 2 + 3)^2 = \\ &= 2(1 + 4 + 4 + 9) = \\ &= 36. \end{aligned}$$

Но если мы будем считать кривизну внешней окружности равной  $-1$ , то получим верное равенство

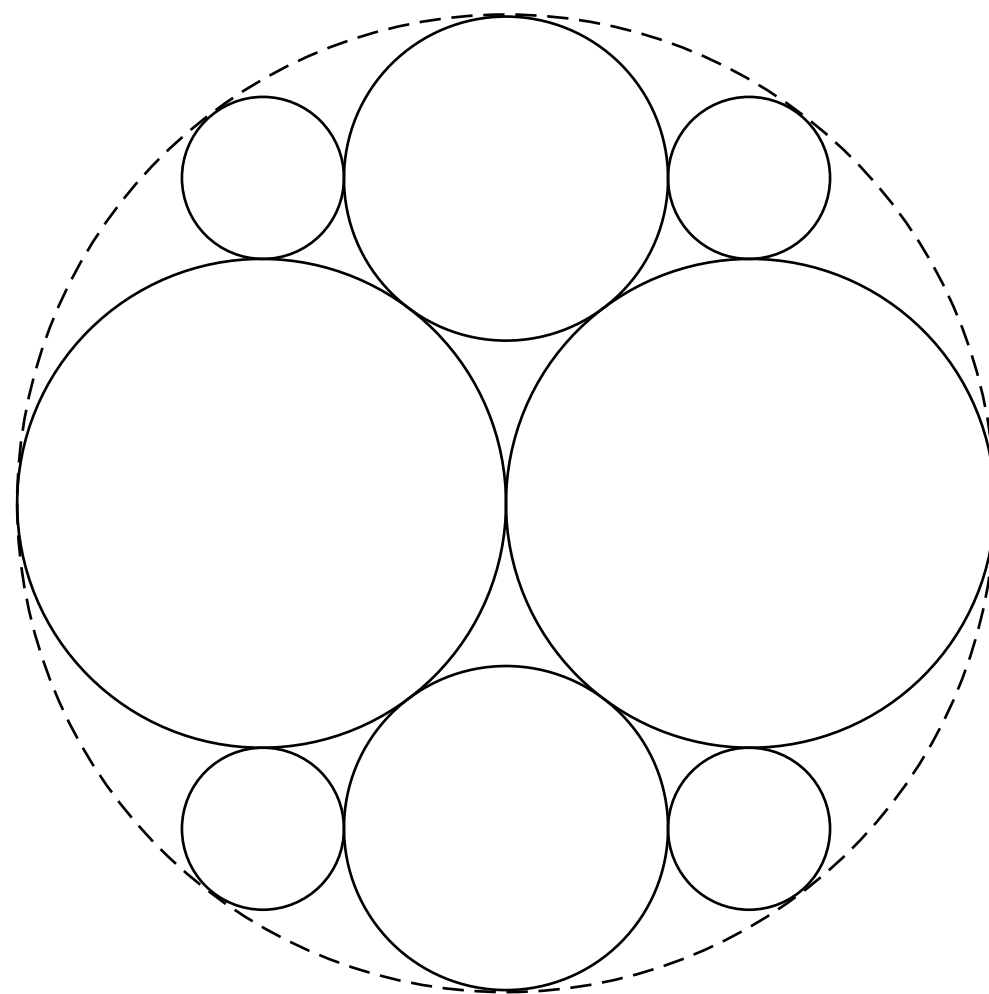
$$\begin{aligned} 36 &= (-1 + 2 + 2 + 3)^2 = \\ &= 2(1 + 4 + 4 + 9) = \\ &= 36. \end{aligned}$$



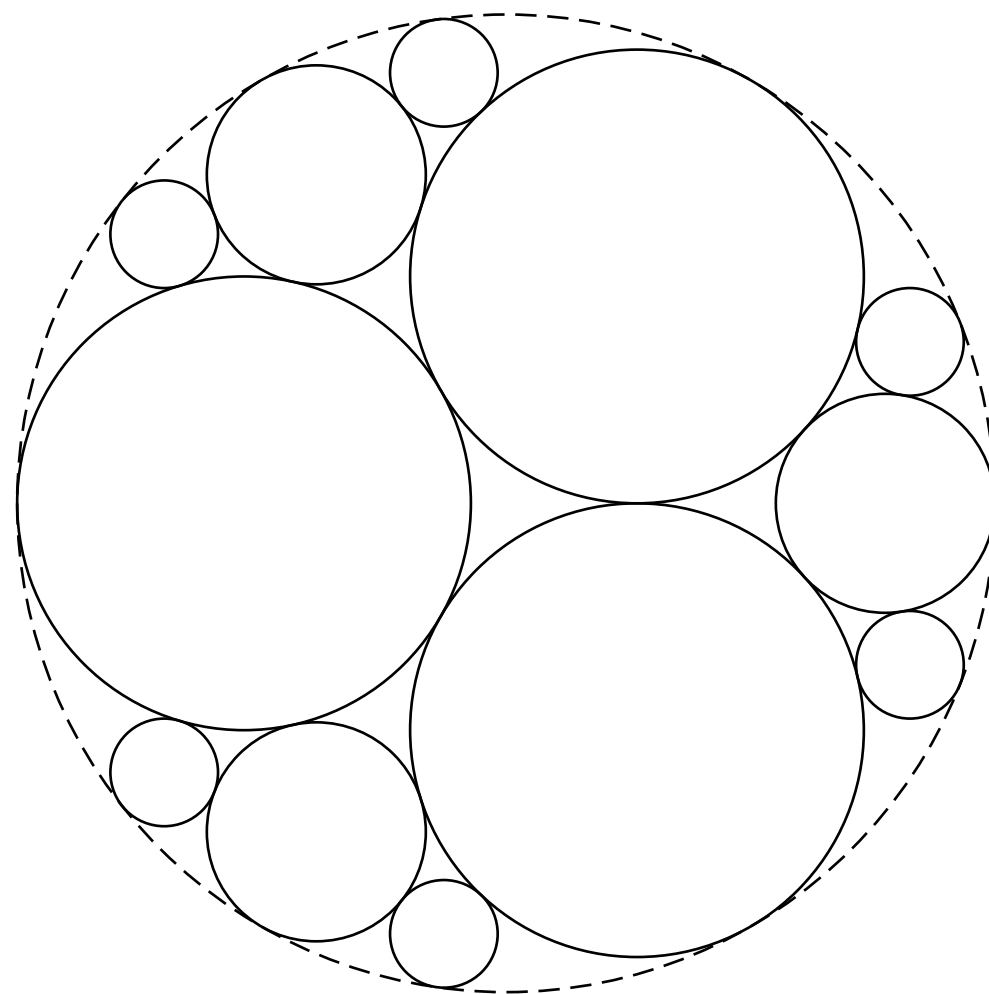
Нумерация кругов



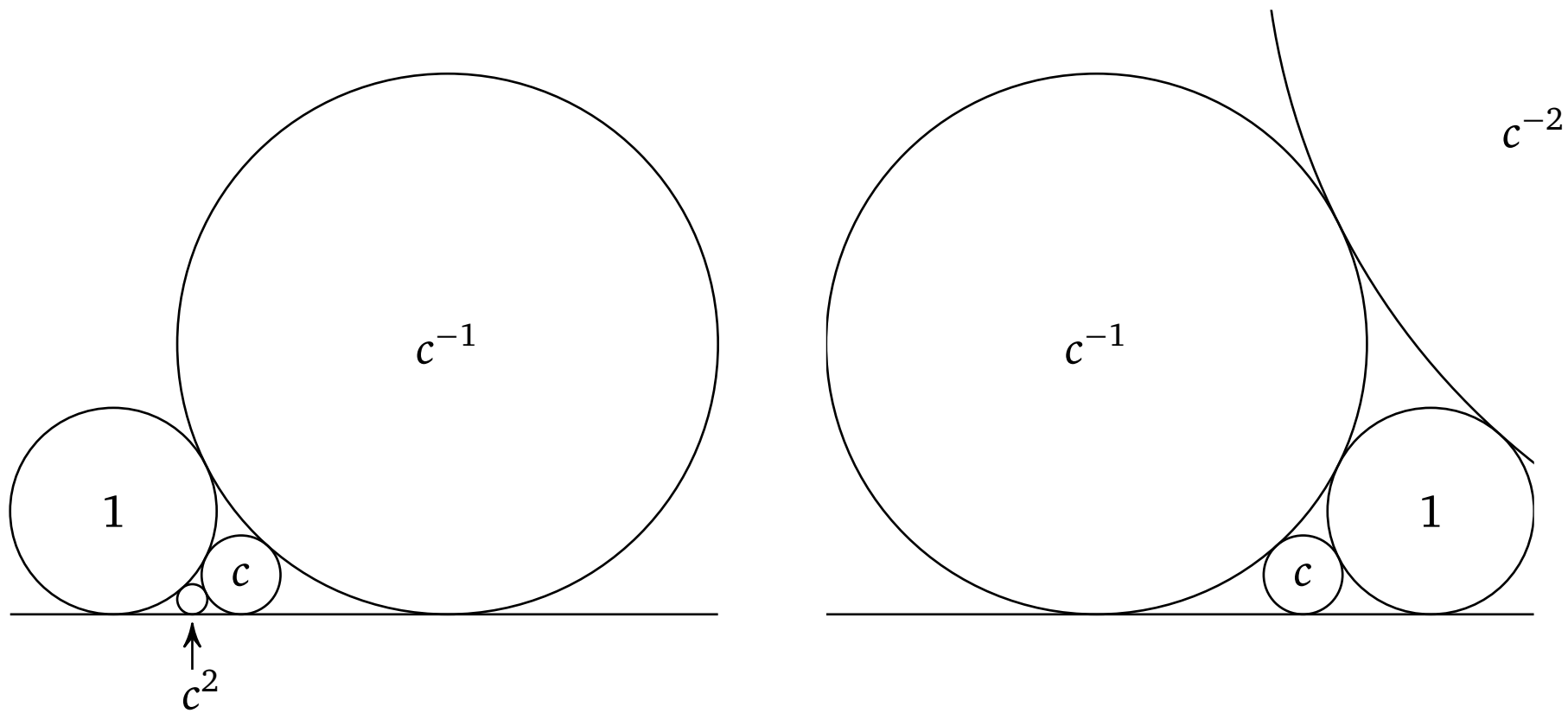
Ковер-лента



Прямоугольный ковер

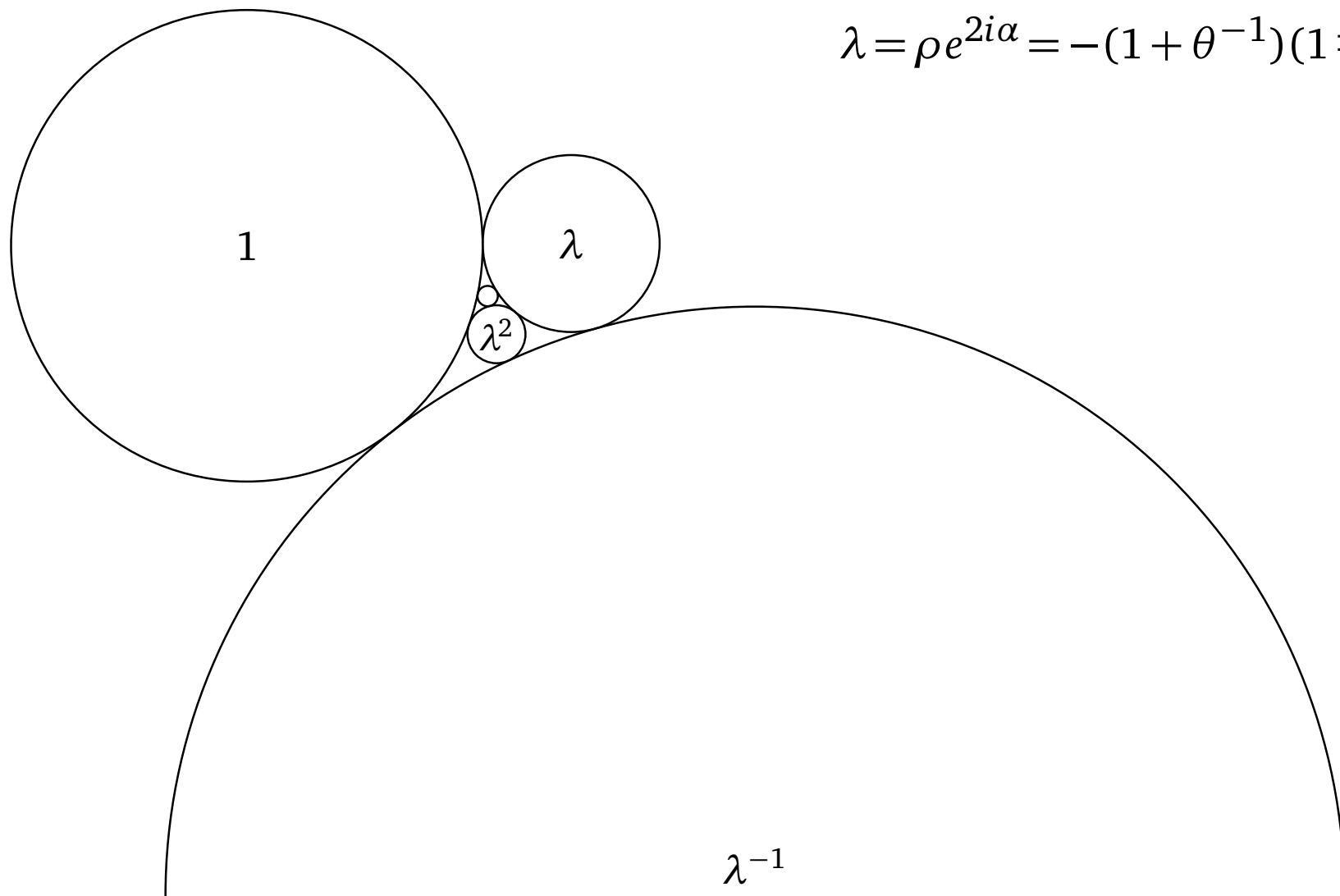


Треугольный ковер



Ковры с неограниченными размерами кругов:  $\mathcal{A}_1$  и  $c \cdot \mathcal{A}_1$

$$\lambda = \rho e^{2i\alpha} = -(1 + \theta^{-1})(1 \mp i\theta).$$



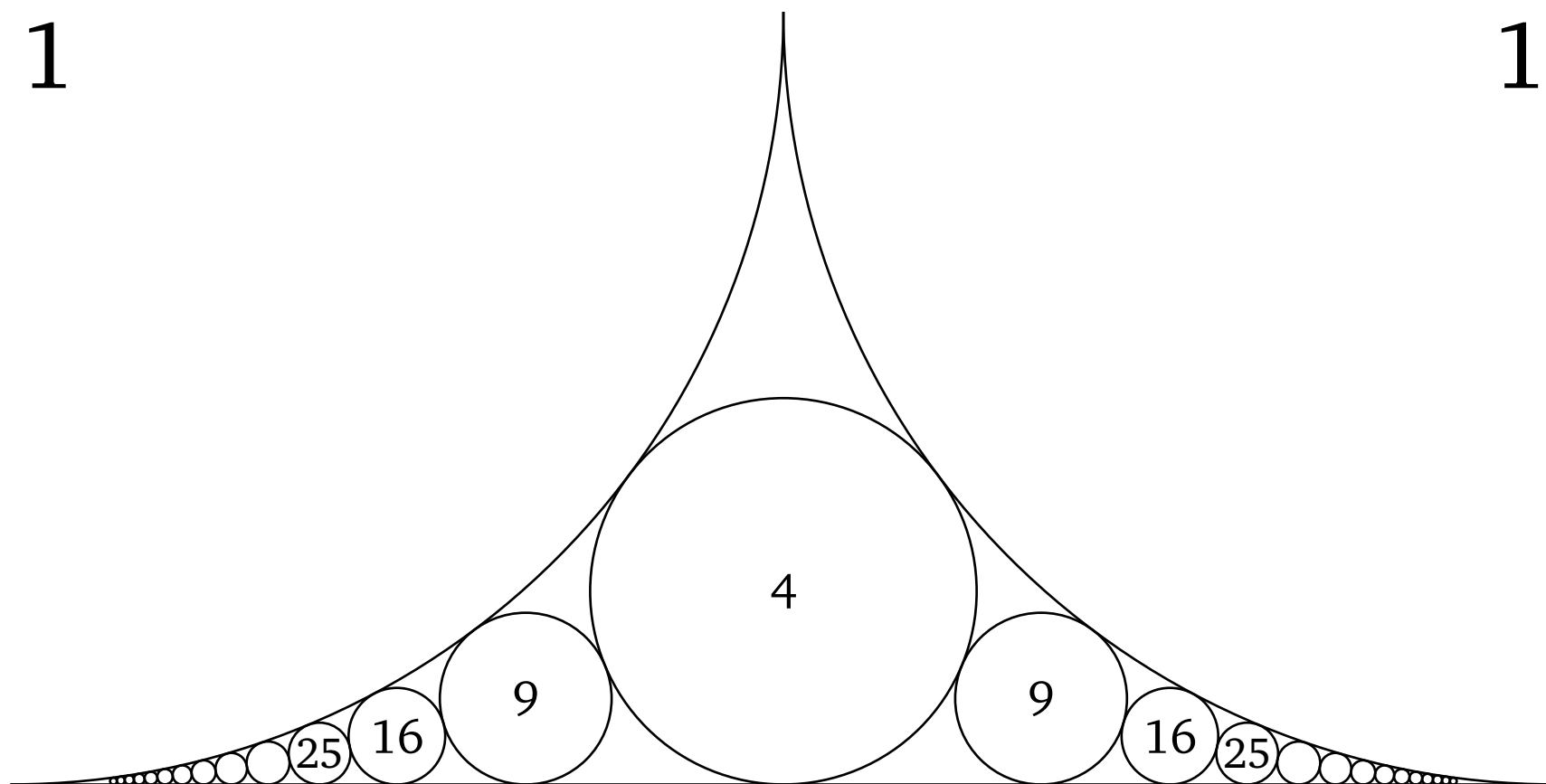
Ковер  $\mathcal{A}_2$

Три интерпретации множества  $\mathcal{D}$ :

а) Круги на сфере

б) Векторы из пространства Минковского  $\mathbb{R}^{1,3}$  со скалярным квадратом  $-1$

в) Эрмитовы  $2 \times 2$  матрицы  $M$  с  $\det M = -1$ .



Квадратичные последовательности кривизн

ЗАМЕЧАНИЕ. Замечательный способ занумеровать все положительные рациональные числа обнаружили недавно Нил Калкин и Херберт Вилф.

Пусть  $b(n)$  — число разбиений  $n \geq 0$  в сумму степеней двойки, в которых никакая степень не используется больше двух раз. Тогда отношение  $r_n = \frac{b(n)}{b(n+1)}$  принимает каждое положительное рациональное значение в точности один раз! Начальный кусок этой нумерации выглядит так:

$n$	0	1	2	3	4	5	6	7	8	9	10	11	12	13	14	15	16	17
$b(n)$	1	1	2	1	3	2	3	1	4	3	5	2	5	3	4	1	5	7
$r_n$	1	$\frac{1}{2}$	2	$\frac{1}{3}$	$\frac{3}{2}$	$\frac{2}{3}$	3	$\frac{1}{4}$	$\frac{4}{3}$	$\frac{3}{5}$	$\frac{5}{2}$	$\frac{2}{5}$	$\frac{5}{3}$	$\frac{3}{4}$	4	$\frac{1}{5}$	$\frac{5}{4}$	$\frac{7}{4}$
$n$	18	19	20	21	22	23	24	25	26	27	28	29	30	31	32	33		
$b(n)$	3	8	5	7	2	7	5	8	3	7	4	5	1	6	5	4		
$r_n$	$\frac{3}{7}$	$\frac{8}{3}$	$\frac{5}{8}$	$\frac{7}{5}$	$\frac{2}{7}$	$\frac{7}{2}$	$\frac{5}{7}$	$\frac{8}{5}$	$\frac{3}{8}$	$\frac{7}{3}$	$\frac{4}{7}$	$\frac{5}{4}$	$\frac{1}{5}$	6	$\frac{5}{6}$	$\frac{9}{5}$		

Интересно сравнить эту нумерацию с той, которая получается из рассмотрения рядов Фарея.

Назовем два числа  $r_i = \frac{p_i}{q_i}$ ,  $i = 1, 2$ , из  $\overline{\mathbb{Q}}$  близкими, если выполнены следующие эквивалентные условия:

$$\text{а) } |p_1q_2 - p_2q_1| = 1, \quad \text{б) } |r_1 - r_2| = \frac{1}{|q_1q_2|}. \quad (10)$$

Стоит отметить, что отношение близости *не является*\* отношением эквивалентности: каждое целое число близко к бесконечности, но только соседние целые числа близки друг к другу.

\*Как и в обычной жизни.

Теперь мы определим новую операцию<sup>†</sup> «вставки» на  $\overline{\mathbb{Q}}$ . Эта операция сопоставляет паре рациональных чисел  $(r_1, r_2)$  третье рациональное число, обозначаемое  $r_1 \downarrow r_2$ , так, что выполняются условия: существуют такие целые  $p_1, p_2, q_1, q_2$ , удовлетворяющие условиям

$$\text{НОД}(p_1, q_1) = \text{НОД}(p_2, q_2) = 1,$$

что

$$r_1 = \frac{p_1}{q_1}, \quad r_2 = \frac{p_2}{q_2}, \quad r_1 \downarrow r_2 = \frac{p_1 + p_2}{q_1 + q_2}; \quad (11)$$

$$\text{точка } r_1 \downarrow r_2 \text{ лежит между } r_1 \text{ и } r_2. \quad (12)$$

<sup>†</sup>Как я узнал от Р. Борчердса, в Англии эту операцию называют «сложением дробей для филологов». Она также служит предметом одного из анекдотов, часто цитировавшихся на семинаре Гельфанда.



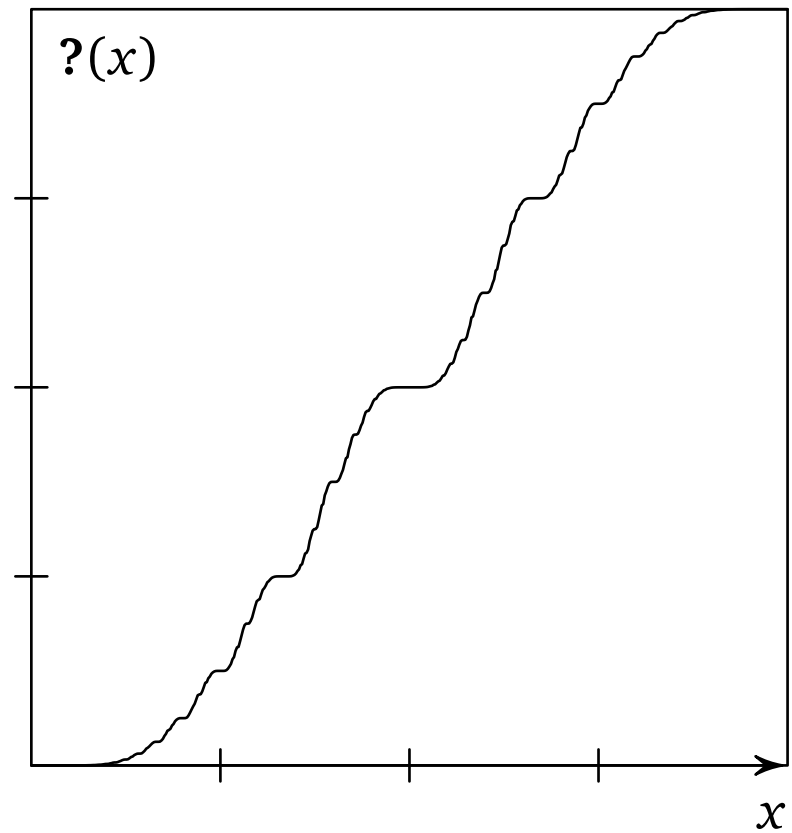
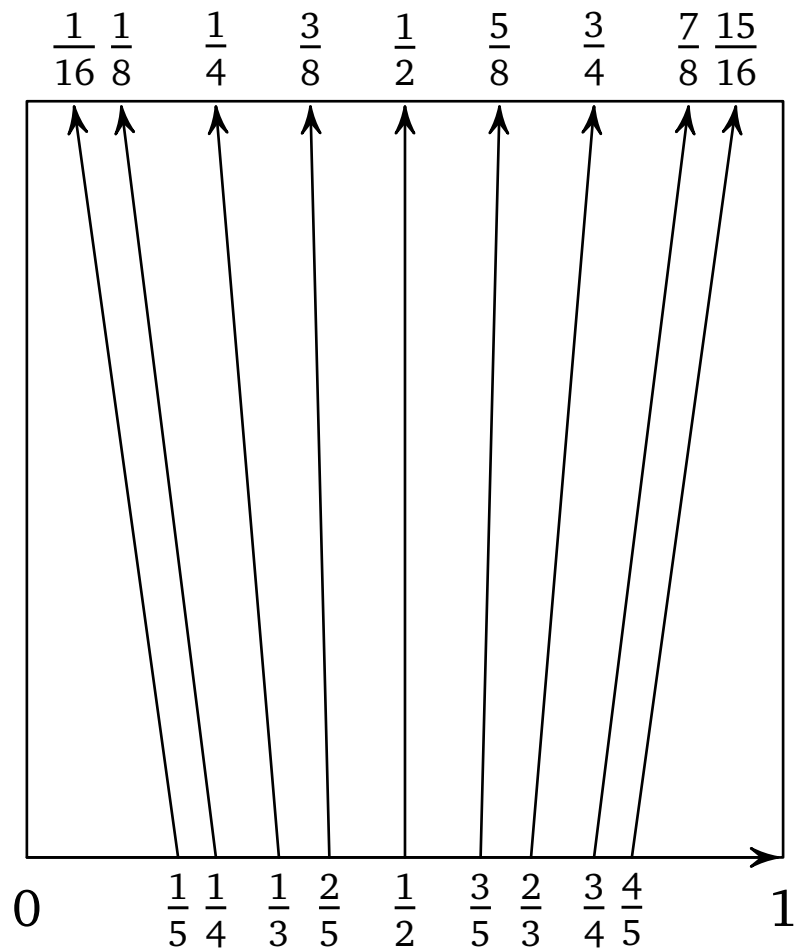
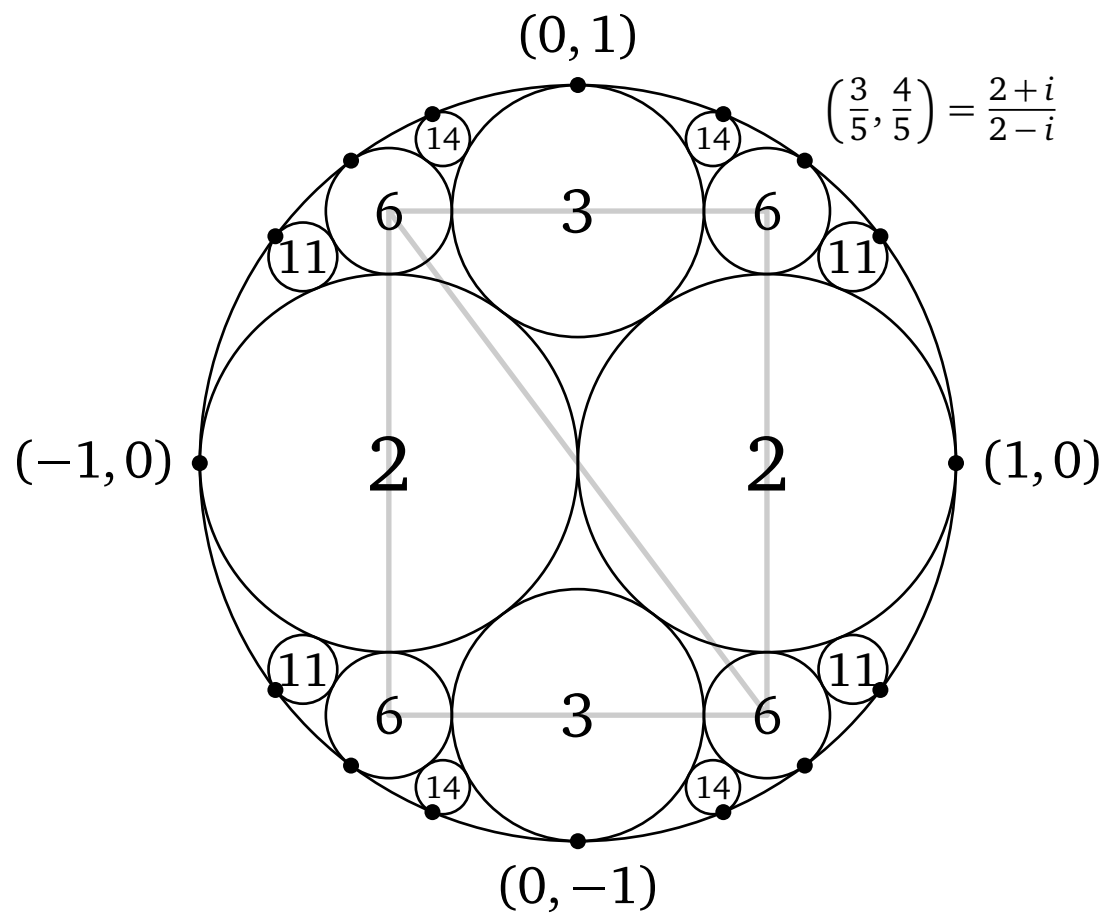


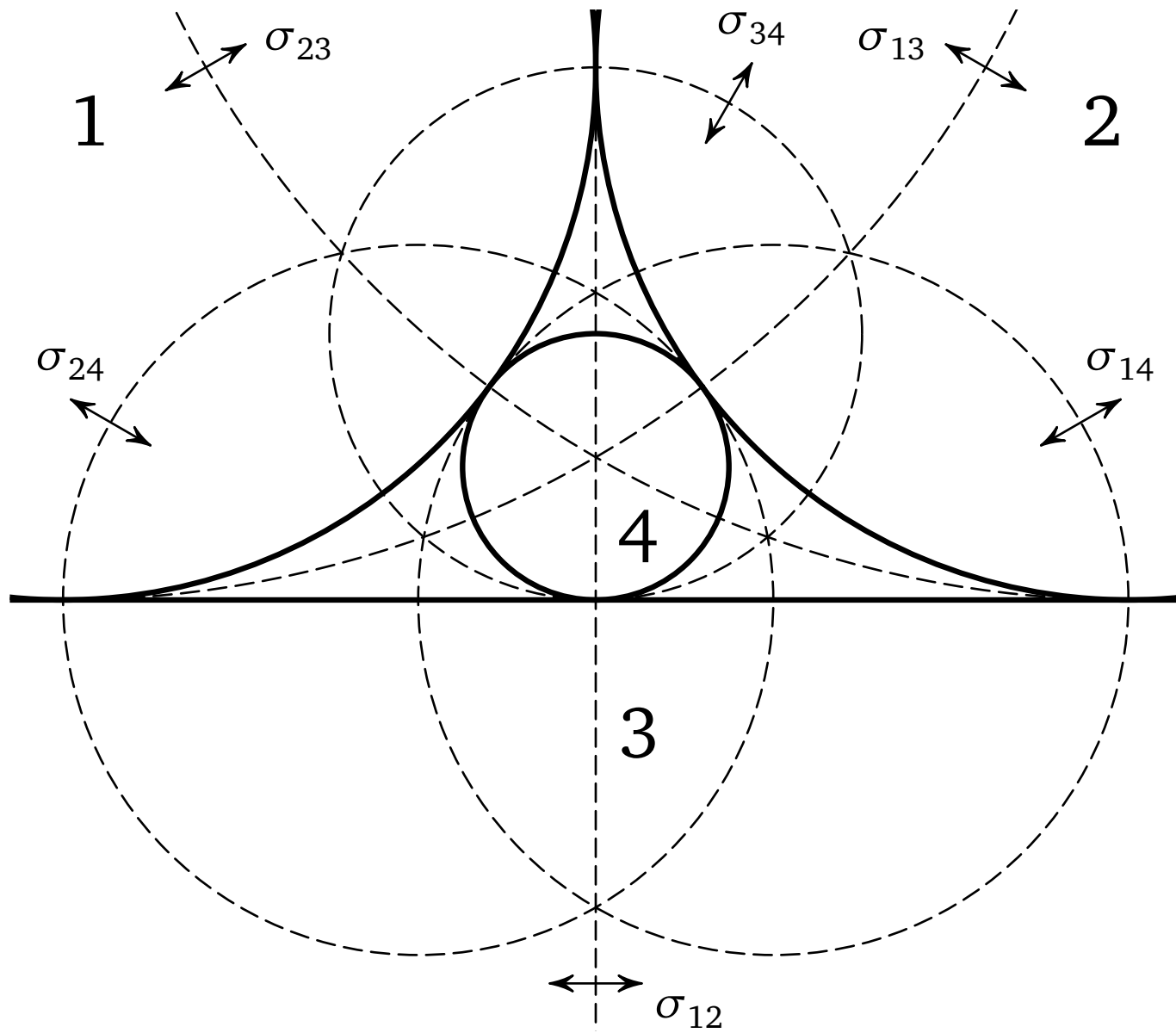
График функции ?



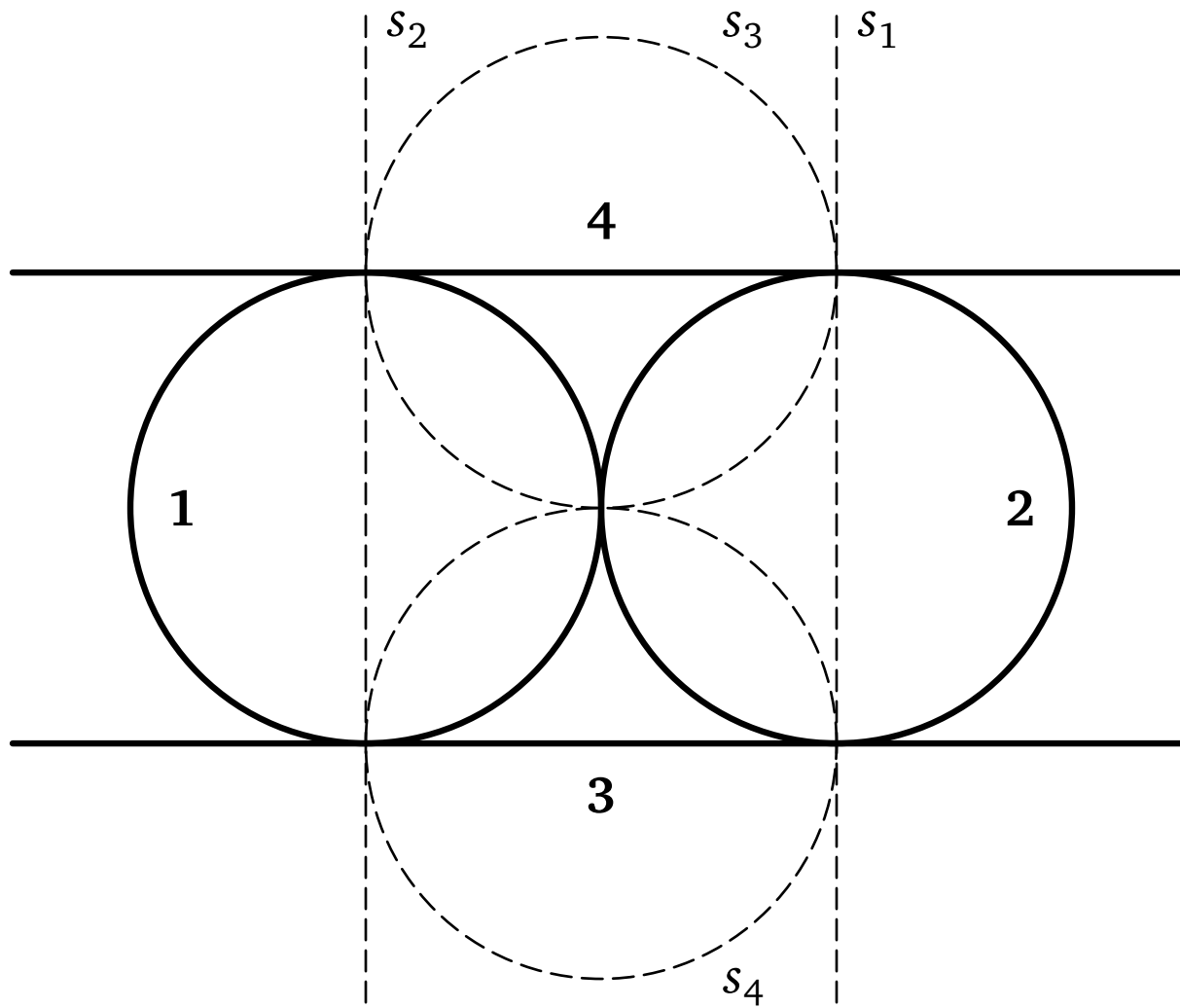
$$c_{p/q} = 1 + p^2 + q^2$$

$$t_{p/q} = \frac{p + iq}{p - iq}$$

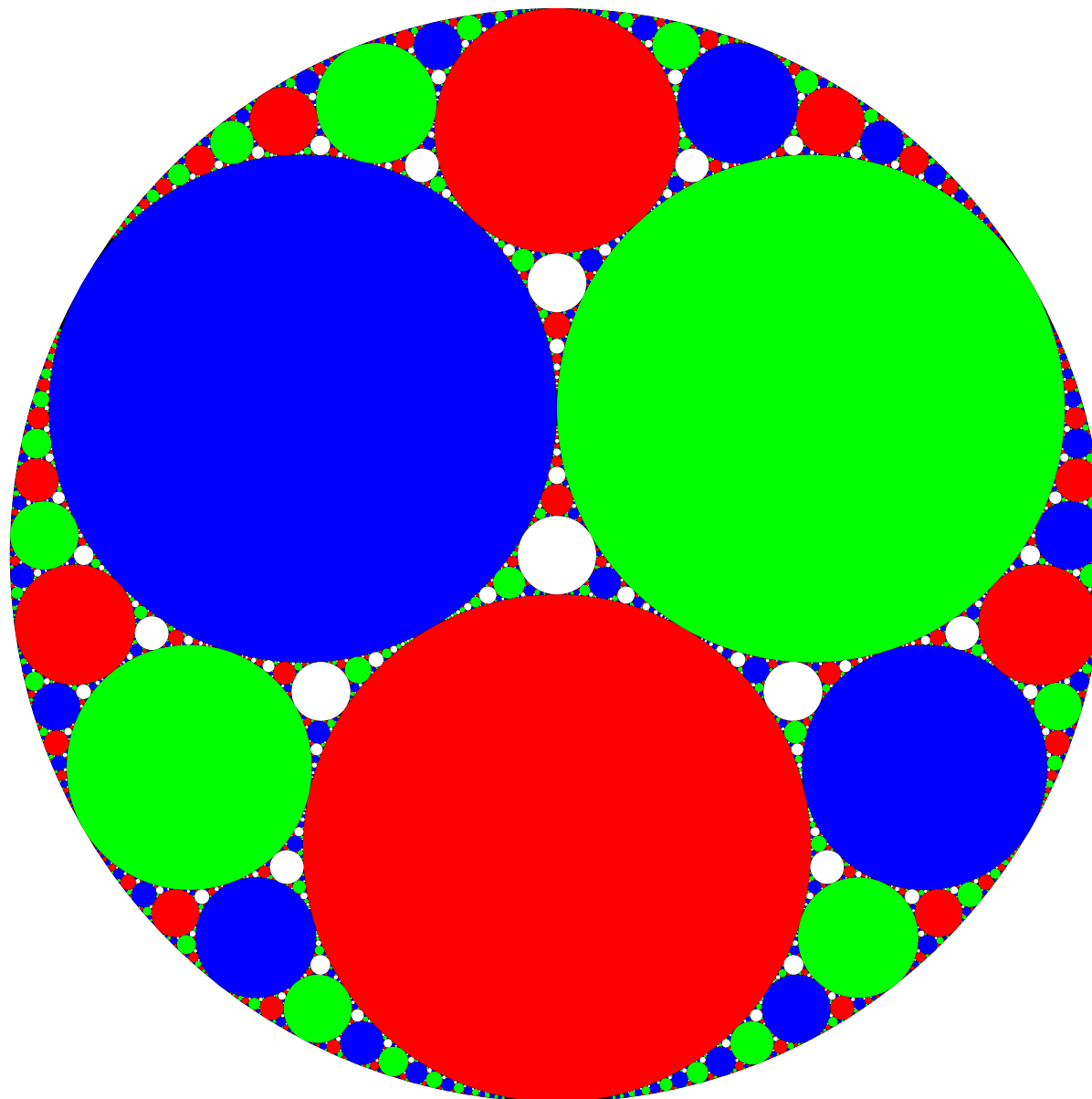
Совершенная параметризация внешней окружности  
в прямоугольном ковре



Отражения из группы  $W$



Базисные зеркала группы  $\Gamma$



Орбиты группы  $\Gamma$

Понятие совершенной параметризации кругов может быть обобщено на 3-мерный случай. Рассмотрим поле алгебраических чисел  $K = \mathbb{Q}[\varepsilon]$ , где  $\varepsilon = e^{2\pi i/3}$  — кубический корень из единицы. Общий элемент этого поля имеет вид  $k = \alpha\varepsilon + \beta\bar{\varepsilon}$ , где  $\alpha, \beta \in \mathbb{Q}$ , а черта означает комплексное сопряжение. Можно рассматривать  $K$  как двумерное пространство над полем  $\mathbb{Q}$  с базисом  $\varepsilon$  и  $\bar{\varepsilon}$ . Операция умножения на  $k$  в этом базисе записывается матрицей  $M(k) = \begin{pmatrix} -\beta & \alpha - \beta \\ \beta - \alpha & -\alpha \end{pmatrix}$ . Определим след и норму числа  $k \in K$  как след и определитель  $M(k)$  соответственно:

$$\operatorname{tr} k = k + \bar{k} = \alpha + \beta, \quad \|k\|_K^2 = |k|^2 = k\bar{k} = \alpha^2 - \alpha\beta + \beta^2. \quad (13)$$

Через  $E$  мы обозначим подмножество  $K$ , выделяемое условиями  $\alpha \in \mathbb{Z}, \beta \in \mathbb{Z}$ . Элементы  $E$  — это целые числа поля  $K$ . Существует шесть обратимых целых чисел:  $\pm 1, \pm\varepsilon, \pm\bar{\varepsilon}$ . Они характеризуются условием  $\|k\| = 1$  и называются *единицами* поля  $K$ . Известно, что каждое целое число однозначно (по модулю единиц) разлагается в произведение *простых* чисел, то есть таких, которые

делятся только на себя и на единицы. Что касается простых чисел, они бывают двух сортов: обычные простые числа вида  $p = 3m - 1$  и такие комплексные числа  $k = a\varepsilon + b\bar{\varepsilon}$  с целыми  $a, b$ , для которых квадрат нормы равен 3 или обычному простому числу вида  $3m + 1$ .

Начало списка простых чисел поля  $K$  имеет вид

$$2, \varepsilon - \bar{\varepsilon}, 5, 2\varepsilon - \bar{\varepsilon}, 11, 3\varepsilon - \bar{\varepsilon}, 17, 3\varepsilon - 2\bar{\varepsilon}, 23, 29, 5\varepsilon - \bar{\varepsilon}, 4\varepsilon - 3\bar{\varepsilon}, \dots$$

Из сказанного следует, что каждый элемент  $k \in K$  может быть однозначно (по модулю единиц) записан в виде несократимой дроби  $k = \frac{p}{q}$ , где  $p, q \in E$  не имеют общих множителей, не считая единиц. Можно также записать  $k$  в виде  $k = \frac{l\varepsilon + m\bar{\varepsilon}}{n}$ , где  $l, m, n$  — обычные целые числа с  $\text{НОД}(l, m, n) = 1$ .

**ОПРЕДЕЛЕНИЕ.** Пусть  $D$  — трехмерный шар в целочисленном 3-мерном ков-ре Аполлония. Параметризация множества  $\partial D$  точками  $\overline{\mathbb{R}^2}$  называется *совершенной*, если точки касания  $D$  с остальными шарами в точности соответствуют точкам  $\bar{K} \subset \overline{\mathbb{R}^2}$ .

Пусть  $D_k \in \mathcal{A}$  означает шар, касающийся  $D$  в точке  $k = \frac{p}{q} \in \bar{K}$ . (Если  $q = 0$ ,  $k = \infty \in \bar{K}$ .)

ТЕОРЕМА. Совершенные параметризации существуют и обладают следующими свойствами:

а) Пусть  $K \ni k = \frac{p}{q}$ . Кривизна  $c_k$  границы шара  $D_k$  дается формулой

$$c_k = \alpha|p|^2 + \beta p\bar{q} + \bar{\beta}\bar{p}q + \gamma|q|^2 + \delta, \quad (14)$$

где  $\alpha, \gamma \in \mathbb{R}$ ,  $\beta \in \mathbb{C}$ .

б) Существует такая координатная система  $(x_1, x_2, x_3)$  в окружающем  $\mathbb{R}^3$ , что

$$x_i = \frac{\alpha_i|p|^2 + \beta_i p\bar{q} + \bar{\beta}_i \bar{p}q + \gamma_i|q|^2 + \delta_i}{\alpha|p|^2 + \beta p\bar{q} + \bar{\beta}\bar{p}q + \gamma|q|^2 + \delta}. \quad (15)$$

в) Пусть  $k_i = \frac{p_i}{q_i}$ ,  $i = 1, 2$ . Шары  $D_{k_1}$  и  $D_{k_2}$  касаются тогда и только тогда, когда

$$|k_1 - k_2| = \frac{1}{|q_1 q_2|}. \quad (16)$$

Мы оставляем читателю в качестве нелегкой самостоятельной работы доказать сформулированную теорему и найти ее матричный аналог.

В заключение мы проиллюстрируем эту теорему двумя примерами совершенных параметризаций в 3-мерном ковре Аполлония.

Введем в  $\mathbb{R}^3$  ортогональный базис  $1, i, j$ . Шару с центром  $x + iy + jz$  и радиусом  $r > 0$  мы поставим в соответствие эрмитову кватернионную матрицу  $\begin{pmatrix} a & b \\ \bar{b} & c \end{pmatrix}$ , где  $c = \frac{1}{r}$ ,  $b = \frac{x + iy + jz}{r}$ ,  $\bar{b} = \frac{x - iy - jz}{r}$ ,  $a = \frac{x^2 + y^2 + z^2 - r^2}{r}$ .

Наш ковер  $\mathcal{A}$  будет 3-мерным аналогом ковры-ленты на плоскости. В него входят два обобщенных шара, один из которых—полупространство  $z \geq 1$ , а другой—полупространство  $-z \geq 1$ . Они соответствуют матрицам  $M_{\pm} = \begin{pmatrix} 2 & \mp j \\ \pm j & 0 \end{pmatrix}$ . Далее, наш ковер содержит счетное множество единичных шаров, соответствующих матрицам  $\begin{pmatrix} |v|^2 - 1 & v \\ -\bar{v} & 1 \end{pmatrix}$ , где вектор  $v$  пробегает решетку  $V \subset \mathbb{C}$ , порожденную векторами  $2\varepsilon$  и  $2\bar{\varepsilon}$ .

Первый пример совершенной параметризации—это параметризация всех шаров, касающихся плоскости  $z = 1$ , элементами  $\bar{K}$ . А именно, точке  $k = \frac{p}{q} \in \bar{K}$

мы ставим в соответствие матрицу

$$M_k = \begin{pmatrix} 4|p|^2 + |q|^2 - 2 & 2p\bar{q} + (1 - |q|^2)j \\ 2\bar{p}q - (1 - |q|^2)j & |q|^2 \end{pmatrix}. \quad (17)$$

Соответствующий шар касается плоскости в точке

$$t_k = -2\frac{p}{q} + \left(1 - \frac{1}{|q|^2}\right)j$$

и имеет радиус  $r = \frac{1}{|q|^2}$ .

Второй пример—параметризация всех шаров, касающихся единичного шара с матрицей  $M = \begin{pmatrix} -1 & 0 \\ 0 & 1 \end{pmatrix}$ . Здесь формула выглядит так:

$$M_k = \begin{pmatrix} |p|^2 + |q|^2 + 1 & 2p\bar{q} + (|p|^2 - |q|^2)j \\ 2\bar{p}q + (|q|^2 - |p|^2)j & |p|^2 + |q|^2 - 1 \end{pmatrix}. \quad (18)$$

Соответствующий шар касается единичного шара в точке

$$t_k = \frac{-2p\bar{q} + (|q|^2 - |p|^2)j}{|p|^2 + |q|^2}$$

и имеет радиус  $r = \frac{1}{|p|^2 + |q|^2 - 1}$ .